

Starkniederschlagshöhen und -spenden gemäß KOSTRA-DWD-2020

Rasterfeld 76168

(Zeile 76, Spalte 168)

Regenspende und Bemessungsniederschlagswerte in Abhängigkeit von Wiederkehrzeit T und Dauerstufe D

| Dauerstufe D | | Wiederkehrzeit T | | | | | | | | | | | | | | | | | |
|--------------|-----|------------------|------------|------|------------|------|------------|------|------------|------|------------|-------|------------|-------|------------|-------|------------|-------|------------|
| | | 1 a | | 2 a | | 3 a | | 5 a | | 10 a | | 20 a | | 30 a | | 50 a | | 100 a | |
| min | Std | mm | l / (s ha) | mm | l / (s ha) | mm | l / (s ha) | mm | l / (s ha) | mm | l / (s ha) | mm | l / (s ha) | mm | l / (s ha) | mm | l / (s ha) | mm | l / (s ha) |
| 5 | | 5,8 | 193,3 | 7,2 | 240,0 | 8,1 | 270,0 | 9,2 | 306,7 | 10,9 | 363,3 | 12,6 | 420,0 | 13,7 | 456,7 | 15,2 | 506,7 | 17,2 | 573,3 |
| 10 | | 7,8 | 130,0 | 9,7 | 161,7 | 10,9 | 181,7 | 12,4 | 206,7 | 14,7 | 245,0 | 17,0 | 283,3 | 18,5 | 308,3 | 20,4 | 340,0 | 23,3 | 388,3 |
| 15 | | 9,1 | 101,1 | 11,3 | 125,6 | 12,6 | 140,0 | 14,4 | 160,0 | 17,0 | 188,9 | 19,6 | 217,8 | 21,4 | 237,8 | 23,7 | 263,3 | 26,9 | 298,9 |
| 20 | | 10,0 | 83,3 | 12,4 | 103,3 | 13,9 | 115,8 | 15,8 | 131,7 | 18,7 | 155,8 | 21,6 | 180,0 | 23,5 | 195,8 | 26,0 | 216,7 | 29,6 | 246,7 |
| 30 | | 11,3 | 62,8 | 14,0 | 77,8 | 15,7 | 87,2 | 17,9 | 99,4 | 21,1 | 117,2 | 24,4 | 135,6 | 26,6 | 147,8 | 29,4 | 163,3 | 33,5 | 186,1 |
| 45 | | 12,6 | 46,7 | 15,7 | 58,1 | 17,6 | 65,2 | 20,1 | 74,4 | 23,7 | 87,8 | 27,4 | 101,5 | 29,8 | 110,4 | 32,9 | 121,9 | 37,5 | 138,9 |
| 60 | 1 | 13,6 | 37,8 | 16,9 | 46,9 | 19,0 | 52,8 | 21,7 | 60,3 | 25,5 | 70,8 | 29,5 | 81,9 | 32,2 | 89,4 | 35,6 | 98,9 | 40,5 | 112,5 |
| 90 | 1,5 | 15,1 | 28,0 | 18,8 | 34,8 | 21,1 | 39,1 | 24,1 | 44,6 | 28,4 | 52,6 | 32,8 | 60,7 | 35,7 | 66,1 | 39,5 | 73,1 | 45,0 | 83,3 |
| 120 | 2 | 16,3 | 22,6 | 20,2 | 28,1 | 22,7 | 31,5 | 25,9 | 36,0 | 30,5 | 42,4 | 35,3 | 49,0 | 38,4 | 53,3 | 42,5 | 59,0 | 48,3 | 67,1 |
| 180 | 3 | 18,0 | 16,7 | 22,3 | 20,6 | 25,0 | 23,1 | 28,6 | 26,5 | 33,7 | 31,2 | 39,0 | 36,1 | 42,4 | 39,3 | 46,9 | 43,4 | 53,4 | 49,4 |
| 240 | 4 | 19,3 | 13,4 | 23,9 | 16,6 | 26,8 | 18,6 | 30,6 | 21,3 | 36,1 | 25,1 | 41,8 | 29,0 | 45,5 | 31,6 | 50,3 | 34,9 | 57,3 | 39,8 |
| 360 | 6 | 21,2 | 9,8 | 26,4 | 12,2 | 29,6 | 13,7 | 33,8 | 15,6 | 39,8 | 18,4 | 46,0 | 21,3 | 50,1 | 23,2 | 55,5 | 25,7 | 63,1 | 29,2 |
| 540 | 9 | 23,4 | 7,2 | 29,1 | 9,0 | 32,6 | 10,1 | 37,2 | 11,5 | 43,8 | 13,5 | 50,7 | 15,6 | 55,2 | 17,0 | 61,1 | 18,9 | 69,5 | 21,5 |
| 720 | 12 | 25,0 | 5,8 | 31,1 | 7,2 | 34,9 | 8,1 | 39,8 | 9,2 | 46,9 | 10,9 | 54,3 | 12,6 | 59,1 | 13,7 | 65,4 | 15,1 | 74,4 | 17,2 |
| 1080 | 18 | 27,5 | 4,2 | 34,2 | 5,3 | 38,4 | 5,9 | 43,8 | 6,8 | 51,6 | 8,0 | 59,7 | 9,2 | 65,0 | 10,0 | 71,9 | 11,1 | 81,8 | 12,6 |
| 1440 | 24 | 29,5 | 3,4 | 36,6 | 4,2 | 41,0 | 4,7 | 46,9 | 5,4 | 55,2 | 6,4 | 63,9 | 7,4 | 69,5 | 8,0 | 76,9 | 8,9 | 87,5 | 10,1 |
| 2880 | 48 | 34,7 | 2,0 | 43,1 | 2,5 | 48,3 | 2,8 | 55,1 | 3,2 | 65,0 | 3,8 | 75,1 | 4,3 | 81,8 | 4,7 | 90,5 | 5,2 | 103,0 | 6,0 |
| 4320 | 72 | 38,1 | 1,5 | 47,4 | 1,8 | 53,1 | 2,0 | 60,6 | 2,3 | 71,4 | 2,8 | 82,6 | 3,2 | 89,9 | 3,5 | 99,5 | 3,8 | 113,2 | 4,4 |
| 5760 | 96 | 40,8 | 1,2 | 50,7 | 1,5 | 56,8 | 1,6 | 64,8 | 1,9 | 76,4 | 2,2 | 88,3 | 2,6 | 96,2 | 2,8 | 106,4 | 3,1 | 121,1 | 3,5 |
| 7200 | 120 | 42,9 | 1,0 | 53,4 | 1,2 | 59,8 | 1,4 | 68,3 | 1,6 | 80,5 | 1,9 | 93,1 | 2,2 | 101,3 | 2,3 | 112,1 | 2,6 | 127,6 | 3,0 |
| 8640 | 144 | 44,8 | 0,9 | 55,7 | 1,1 | 62,4 | 1,2 | 71,3 | 1,4 | 84,0 | 1,6 | 97,1 | 1,9 | 105,7 | 2,0 | 117,0 | 2,3 | 133,1 | 2,6 |
| 10080 | 168 | 46,5 | 0,8 | 57,7 | 1,0 | 64,7 | 1,1 | 73,9 | 1,2 | 87,1 | 1,4 | 100,7 | 1,7 | 109,6 | 1,8 | 121,3 | 2,0 | 138,0 | 2,3 |

Starkniederschlagshöhen und -spenden gemäß KOSTRA-DWD-2020

Rasterfeld 76168

(Zeile 76, Spalte 168)

Örtliche Unsicherheiten in Abhängigkeit von Wiederkehrzeit T und Dauerstufe D

| Dauerstufe D | | Wiederkehrzeit T | | | | | | | | |
|--------------|-----|------------------|-----|-----|-----|------|------|------|------|-------|
| | | 1 a | 2 a | 3 a | 5 a | 10 a | 20 a | 30 a | 50 a | 100 a |
| min | Std | ± % | ± % | ± % | ± % | ± % | ± % | ± % | ± % | ± % |
| 5 | | 13 | 12 | 12 | 12 | 13 | 13 | 13 | 14 | 14 |
| 10 | | 11 | 12 | 13 | 14 | 15 | 16 | 17 | 17 | 18 |
| 15 | | 12 | 14 | 15 | 16 | 17 | 18 | 19 | 20 | 20 |
| 20 | | 13 | 15 | 16 | 17 | 19 | 20 | 20 | 21 | 22 |
| 30 | | 14 | 16 | 18 | 19 | 20 | 21 | 22 | 23 | 23 |
| 45 | | 14 | 17 | 18 | 20 | 21 | 22 | 23 | 23 | 24 |
| 60 | 1 | 14 | 17 | 18 | 20 | 21 | 22 | 23 | 23 | 24 |
| 90 | 1,5 | 14 | 17 | 18 | 19 | 21 | 22 | 23 | 23 | 24 |
| 120 | 2 | 14 | 16 | 18 | 19 | 20 | 22 | 22 | 23 | 24 |
| 180 | 3 | 13 | 16 | 17 | 18 | 20 | 21 | 21 | 22 | 23 |
| 240 | 4 | 13 | 15 | 16 | 17 | 19 | 20 | 21 | 21 | 22 |
| 360 | 6 | 12 | 14 | 15 | 17 | 18 | 19 | 20 | 20 | 21 |
| 540 | 9 | 11 | 13 | 15 | 16 | 17 | 18 | 19 | 19 | 20 |
| 720 | 12 | 11 | 13 | 14 | 15 | 17 | 18 | 18 | 19 | 19 |
| 1080 | 18 | 11 | 13 | 14 | 15 | 16 | 17 | 17 | 18 | 19 |
| 1440 | 24 | 12 | 13 | 14 | 14 | 16 | 16 | 17 | 17 | 18 |
| 2880 | 48 | 13 | 13 | 14 | 14 | 15 | 16 | 16 | 17 | 17 |
| 4320 | 72 | 15 | 14 | 15 | 15 | 16 | 16 | 16 | 17 | 17 |
| 5760 | 96 | 16 | 15 | 15 | 16 | 16 | 16 | 17 | 17 | 17 |
| 7200 | 120 | 17 | 16 | 16 | 16 | 16 | 17 | 17 | 17 | 17 |
| 8640 | 144 | 18 | 17 | 17 | 17 | 17 | 17 | 17 | 17 | 18 |
| 10080 | 168 | 18 | 17 | 17 | 17 | 17 | 17 | 17 | 18 | 18 |

Parameter für abweichende T und D

Lokationsparameter ξ (Xi)

14,06322036

Skalenparameter α (Alpha)

4,74076425

Formparameter κ (Kappa)

-0,1

1. Koutsoyiannis-Parameter θ (Theta)

0,04056723

2. Koutsoyiannis-Parameter η (Eta)

0,7666175

Parameter für dauerstufenübergreifende Extremwertschätzung nach KOUTSOYIANNIS et al. 1998.

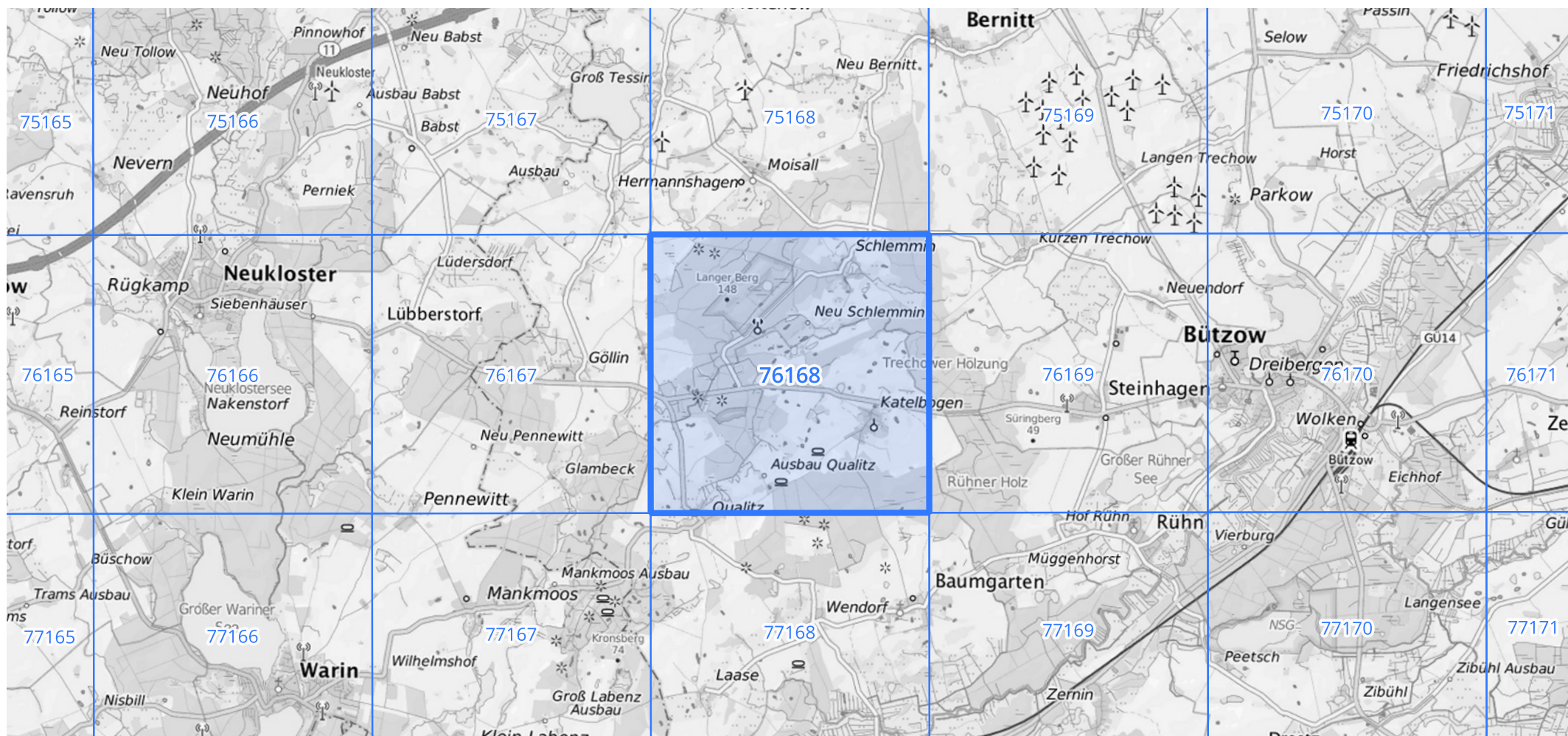
Siehe auch Anwendungshilfe zu KOSTRA-DWD-2020 des Deutschen Wetterdienstes.

Starkniederschlagshöhen und -spenden gemäß KOSTRA-DWD-2020

Rasterfeld 76168

(Zeile 76, Spalte 168)

Übersichtskarte des Rasterfeldes 76168, M 1 : 100 000



Quelle Rasterdaten: KOSTRA-DWD-2020 des Deutschen Wetterdienstes, Stand 12/2022.

Seite 3 von 3

Kartendarstellung: © Bundesamt für Kartographie und Geodäsie (2023), Datenquellen: https://sgx.geodatenzentrum.de/web_public/gdz/datenquellen/Datenquellen_TopPlusOpen.html

Für die Richtigkeit und Aktualität der Angaben wird keine Gewähr übernommen. Erstellt 01/2023.